

ハドロンの性質

浜垣 秀樹

東京大学原子核科学研究センター

目次: ハドロンの性質

- 単位系とRapidity
- ハドロンの静的な性質
 - ハドロンとハドロン多体系の物理
 - QCDの概説
 - クォークの閉じ込めとストリング描像
- ハドロンの動的性質と粒子生成
 - ハドロン-ハドロン衝突について、実験データからわかること
 - String 模型
 - 衝突の時空描像
 - Jet

単位系 と 力学変数

単位系 (Units)

原子核物理、高エネルギー物理で良く用いられる単位

- エネルギーの単位: MeV、又は GeV

$$1 \text{ GeV} = 1.78 \times 10^{-27} \text{ kg}; \text{ 陽子質量 } m_p \sim 1 \text{ GeV}/c^2$$

- 長さの単位: fm

$$1 \text{ fm} = 10^{-13} \text{ cm} \quad ; \quad \text{陽子の大きさ} \sim 1 \text{ fm}$$

$$\hbar = \frac{h}{2\pi} = 1.055 \times 10^{-34} \text{ J} \cdot \text{sec} \quad (\text{作用の次元: } ML^2T)$$

$$c = 2.998 \times 10^8 \text{ m} \cdot \text{sec}^{-1} \quad (\text{速度の次元: } L/T)$$

$$\hbar c = 197 \text{ MeV} \cdot \text{fm} = 0.197 \text{ GeV} \cdot \text{fm}$$

$$\alpha = \frac{e^2}{4\pi\epsilon_0\hbar c} = \frac{1}{137} \quad (\text{微細構造定数})$$

使用例

不確定性關係

$$\Delta p \cdot \Delta x \approx \hbar \quad ; \quad \Delta x = 1 \text{ fm} \Rightarrow \Delta p \approx 200 \text{ MeV}/c$$

古典的電子半徑

$$r_e = \frac{e^2}{4\pi m_e c^2} = \frac{\alpha \cdot \hbar c}{m_e c^2} = \frac{197[\text{MeV} \cdot \text{fm}]}{137} \frac{1}{0.511[\text{MeV}]} \sim 2.8 \text{ fm}$$

Compton波長

$$\text{(電子)} \quad \tilde{\lambda}_e = \frac{\hbar}{m_e c} = \frac{\hbar c}{m_e c^2} = \frac{197[\text{MeV} \cdot \text{fm}]}{0.511[\text{MeV}]} \sim 380 \text{ fm}$$

$$\text{(陽子)} \quad \tilde{\lambda}_p = \frac{\hbar}{m_p c} = \frac{\hbar c}{m_p c^2} = \frac{197[\text{MeV} \cdot \text{fm}]}{938[\text{MeV}]} \sim 0.2 \text{ fm}$$

自然単位系

自然単位系: $\hbar = c = 1$ → 煩雑さを回避
エネルギーの単位: GeV → 一意的

	実際の次元	自然単位系 $\hbar = c = 1$
質量	GeV/c ²	GeV
長さ	$\hbar c$ / GeV	GeV ⁻¹
時間	\hbar / GeV	GeV ⁻¹

$$E = \sqrt{p^2 c^2 + m^2 c^4} \rightarrow E = \sqrt{p^2 + m^2}$$

実際の値を求める際には、適当に \hbar や c を補う必要あり。

例: 断面積 σ

$$1 \text{ mb} = 10^{-27} \text{ cm}^2 \rightarrow \sigma = 1 \text{ GeV}^{-2} = 0.389 \text{ mb} \quad \text{--- 証明せよ}$$

力学変数 (kinematic variable)

反応: $A + B \rightarrow a + X$

粒子 a の運動を記述する力学変数: 4元運動量ベクトル

$$p = (E, p_x, p_y, p_z)$$

$$p_\mu p^\mu = E^2 - p_x^2 - p_y^2 - p_z^2 = m^2$$

$$p'_z = \gamma(p_z - \beta E)$$

$$E' = \gamma(E - \beta p_z)$$

必要に応じて有用な力学変数が使用される

- Rapidity (y)
- Light-cone variable: x^+ x^-

Rapidity

Z軸方向のLorentz変換を考える

- 速度は加算的ではない

$$\text{Galilei変換} : v'_z = v_z + V_R$$

$$\text{Lorentz変換} : v'_z = \frac{v_z + V_R}{1 + v_z V_R}$$

速度に代わる加算的な量 \rightarrow rapidity

Rapidity y の定義

$$y = \frac{1}{2} \ln \frac{E + p_z}{E - p_z} = \frac{1}{2} \ln \frac{1 + \beta_z}{1 - \beta_z} = \ln \frac{E + p_z}{m_T}$$

$$m_T = \sqrt{m^2 + p_T^2}$$

Rapidityの性質

- 非相対論のリミット; $\beta_z \rightarrow 0$:

$$y \rightarrow \beta_z$$

- Lorentz変換に対する変換性

慣性系KとK'の間の相対速度: β_R

$$y' = y + \frac{1}{2} \ln \frac{1 + \beta_R}{1 - \beta_R} = y + y_R$$

$$dy = \frac{dp_z}{E}$$

– 非相対論における速度の変換と相似: $v' = v + v_R$

– y の差は Lorentz 不変

– 粒子間の y の相対的な関係は保持される

Rapidityの性質(続き)

- 超相対論的な場合 : $p \rightarrow E$

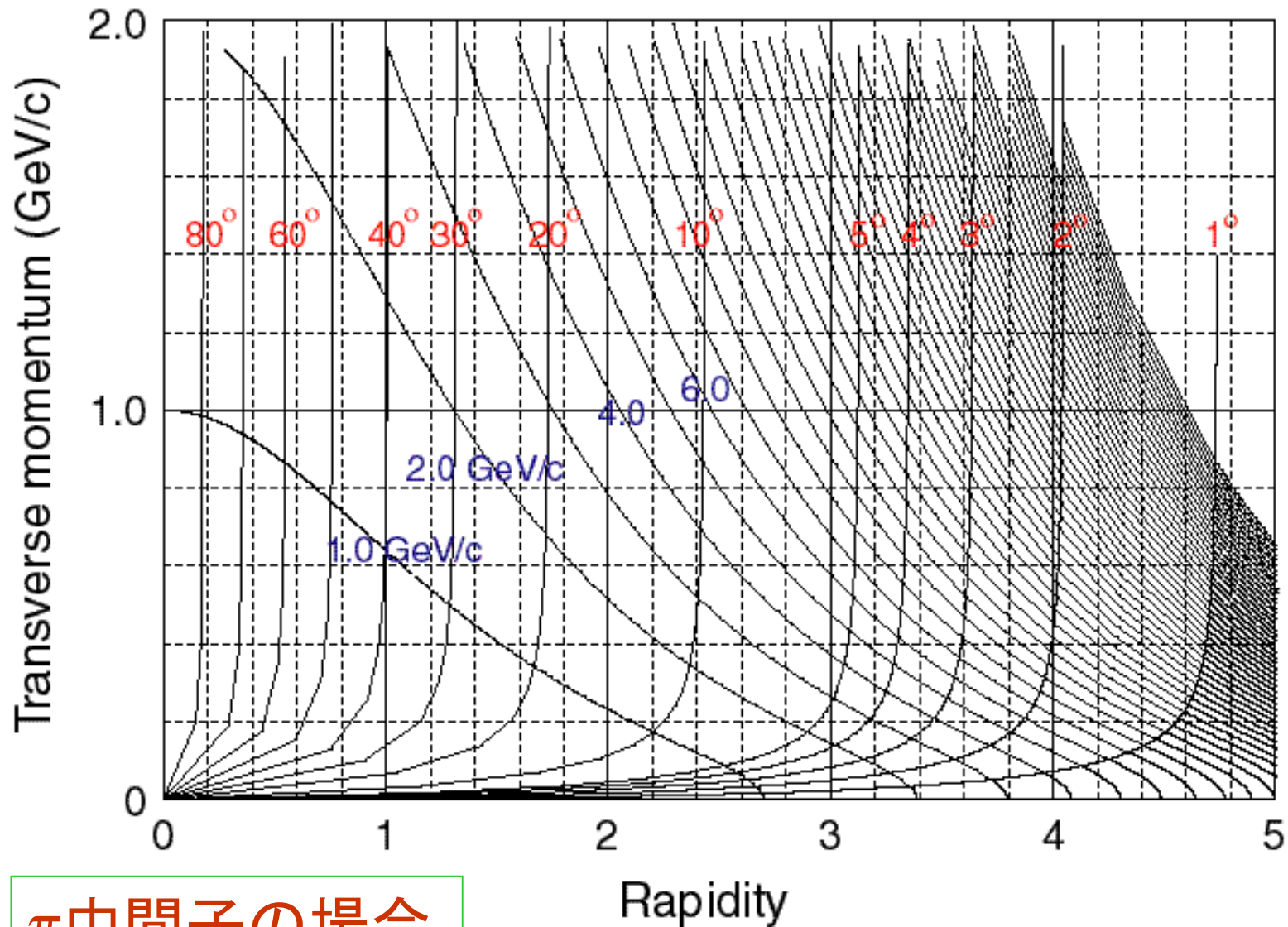
$$y = \frac{1}{2} \ln \frac{E + p_z}{E - p_z} \rightarrow \frac{1}{2} \ln \frac{p + p_z}{p - p_z} = \frac{1}{2} \ln \frac{1 + \cos \theta}{1 - \cos \theta}$$

粒子の rapidity は放出角によって決まる

Pseudo-Rapidity (η)

$$\eta = \frac{1}{2} \ln \frac{p + p_z}{p - p_z} = \frac{1}{2} \ln \frac{1 + \cos \theta}{1 - \cos \theta} = \ln \left[\cotan \left(\frac{\theta}{2} \right) \right]$$

Rapidity- p_T 平面での力学線



π中間子の場合

Rapidity を用いた有用な関係式

- エネルギーと運動量

$$\begin{aligned} E &= m_T \cosh y \\ p_z &= m_T \sinh y \end{aligned}$$



$$E^2 - p_z^2 = m^2 + p_x^2 + p_y^2$$

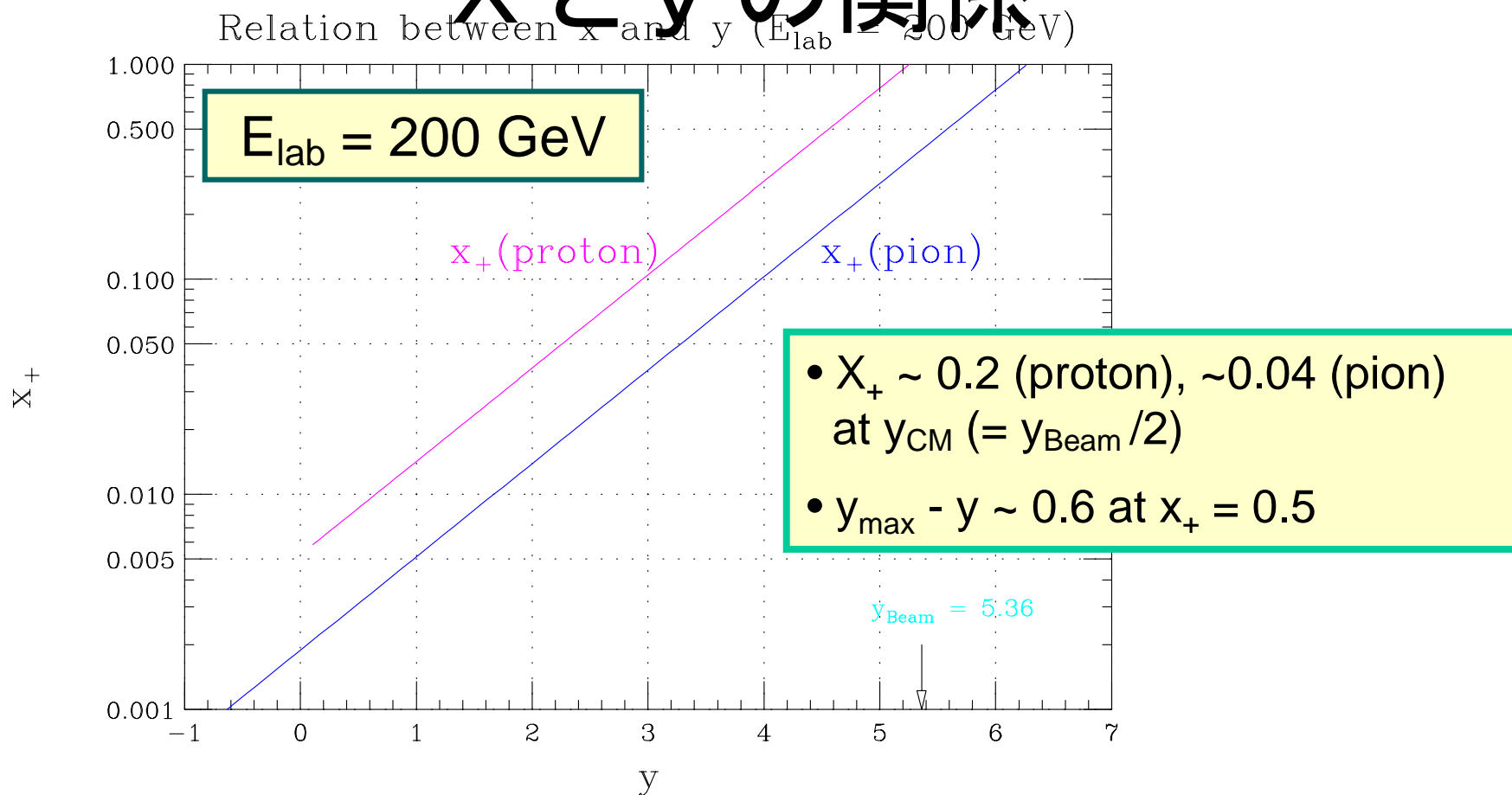
- Invariant Cross Section

$$\frac{dp_z}{E} = dy; \quad \sigma_{inv} = E \frac{d^3\sigma}{dp^3} = \frac{d^3\sigma}{dy p_T dp_T d\phi} = \frac{d^3\sigma}{dy m_T dm_T d\phi}$$

- $d\eta$ と dy の関係

$$dy = \frac{p}{E} d\eta \quad \Rightarrow \quad \frac{dN}{d\eta} = \frac{p}{E} \frac{dN}{dy}$$

Xとyの関係



- X 変数はビーム運動量に近い運動量を持つ (fragmentation領域の) 粒子を記述するのに適している
- Rapidity 変数は、target や beam から離れた領域における粒子生成を記述するのに適している

ハドロンの静的な 性質

ハドロンとその多体系

- ハドロン
 - 強い相互作用をする粒子の総称
 - 歴史的な呼び名
- 現代的: クォーク(反クォーク)からなる複合粒子の総称
 - バリオン: p, n, \dots (クォーク三つからなる)
 - メソン: π, K, \dots (クォーク・反クォーク対からなる)
 - 相互作用: QCD

Hadron Physics

QCD

particle: quarks

gauge boson: gluons

Hadronic Matter

Hadron

Structure function
Media effect
= chiral property

Exotic

Glue-ball

Di-baryon

Equation of State (EOS)

Quark Matter

QGP, Strangelet,...

QCD Interaction

Dynamic

Hadronization, Formation time

Static

Confinement, Chiral Symmetry Breaking

QCD - 概観 -

クォーク: 3世代のアイソスピン2重項

- (u,d), (c,s), (t,b)
- スピン 1/2 電荷 $u = 2/3$, $d = -1/3$
- 色電荷: $N_c = 3$
- ゲージボゾン: 8 グルーオン

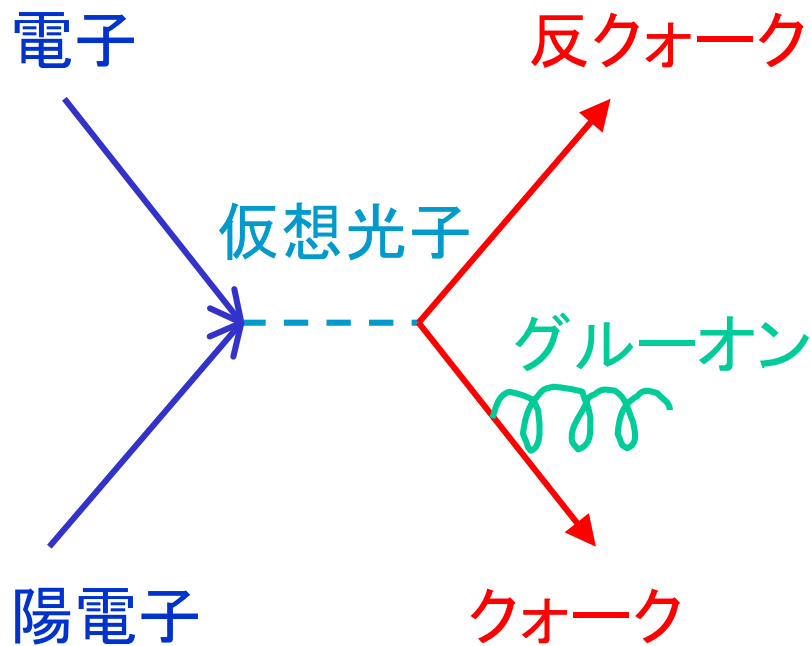
	QED	QCD
群	U(1) (Abelian)	SU(3) (Non-abelian)
フェルミオン	電荷	色電荷(3色)
Gaugeボゾン	フォトン(スピン1質量0) 自由度=2(スピン)	グルーオン(スピン1質量0) 自由度=2(スピン)x8(色)
重ね合わせ	YES	NO(グルーオン:自己相互作用)

グルーオン

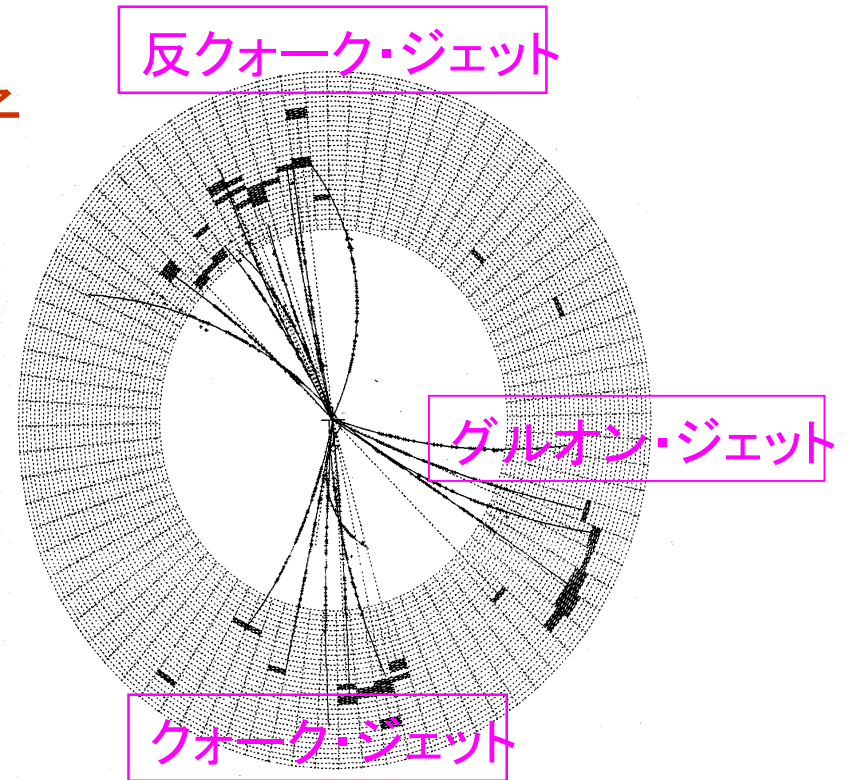
- クォーク間に働く交換力：グルーオン



- 電荷の間に働く交換力：光子



電子と陽電子の衝突



PETRAのJADE検出器で
観測された3-jet 事象

Running Coupling Constant

Propagator : $D(q^2) = \alpha / q^2 \rightarrow$ renormalization

QED

- $q^2 \rightarrow$ 小; $\alpha(q^2) \rightarrow$ 小
- $r \sim 1/q$: α は遠距離で小さい
 - shielding, screening

$$\alpha(q^2) = \frac{\alpha(q_0^2)}{1 - \frac{\alpha(q_0^2)}{3\pi} \ln\left(\frac{q^2}{q_0^2}\right)}$$

QCD

- $N_F =$ 質量が $|q^2|^{1/2}$ 以下のクォーク・フレーバー数
- $\Lambda = 300 \sim 500$ MeV/c
- 低エネルギーでは $\alpha_s \sim O(1)$
 - 摂動計算は不可能
- $q^2 \rightarrow$ 大; $\alpha_s(q^2) \rightarrow$ 小
 - 漸近的自由 (asymptotic free)
 - 摂動計算可能
- $r \sim 1/q$: α_s は遠距離で大きい
 - anti-shielding

$$\alpha_s(q^2) = \frac{\alpha_s(q_0^2)}{1 + B\alpha_s(q_0^2) \ln\left(\frac{q^2}{q_0^2}\right)} = \frac{1}{B \ln\left(\frac{q^2}{\Lambda^2}\right)}$$
$$B = \frac{33 - 2N_F}{12\pi}$$

クォークの存在形態

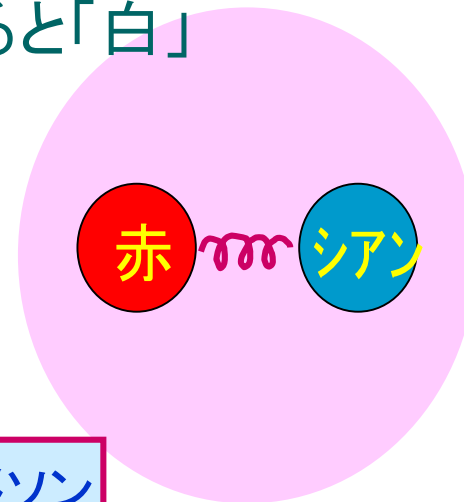
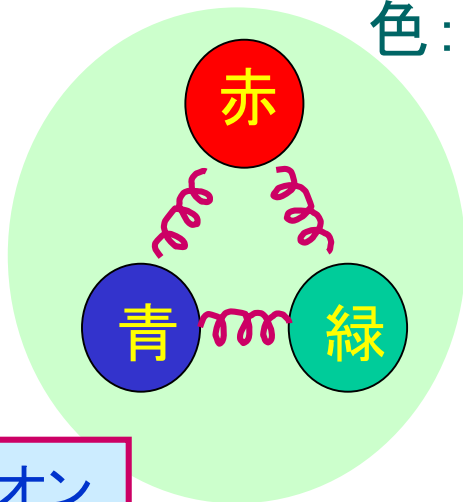
- ハドロン(強い相互作用をする複合粒子の総称)中のみ存在

==「クォークの閉じ込め」==

– バリオン (スピン = 半整数) = クォーク3個: qqq

– メソン (中間子: スピン = 整数) = クォークと反クォーク: $q\bar{q}$

色: 足しあわせると「白」



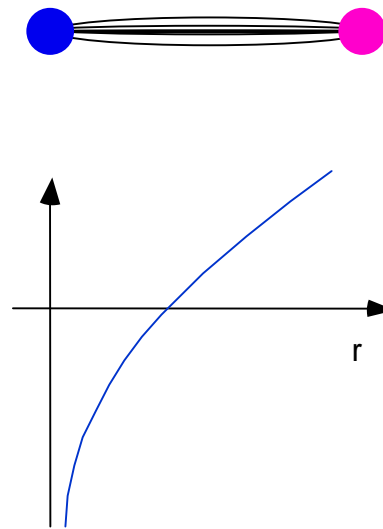
「閉じ込め」の描像

- QCD真空 = 超伝導状態
 - グルーオン: 超伝導体での磁気フラックスチューブのようなもの
 - 1次元の力 → string, color flux tube

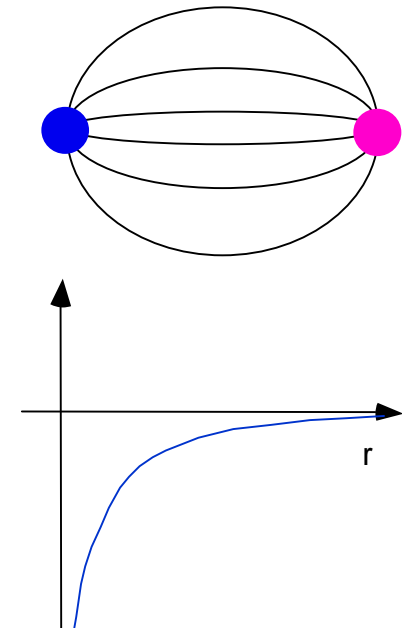
QGP相転移:
真空の超伝導状態
→ 常伝導状態

Quark-antiquark Potential

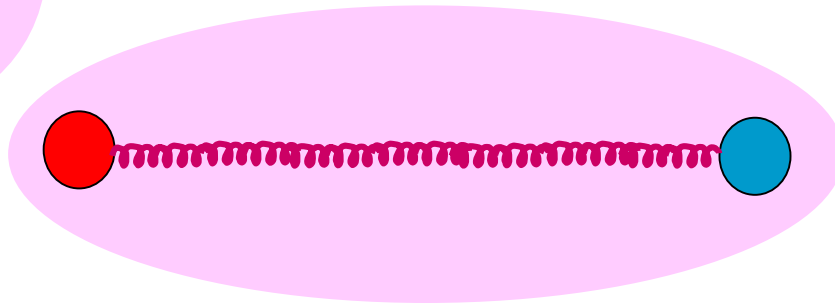
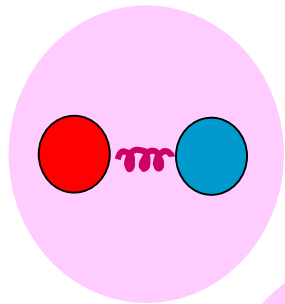
Confined



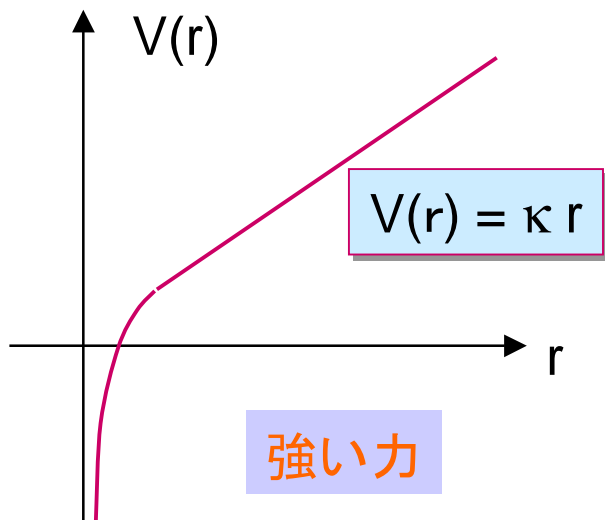
Deconfined



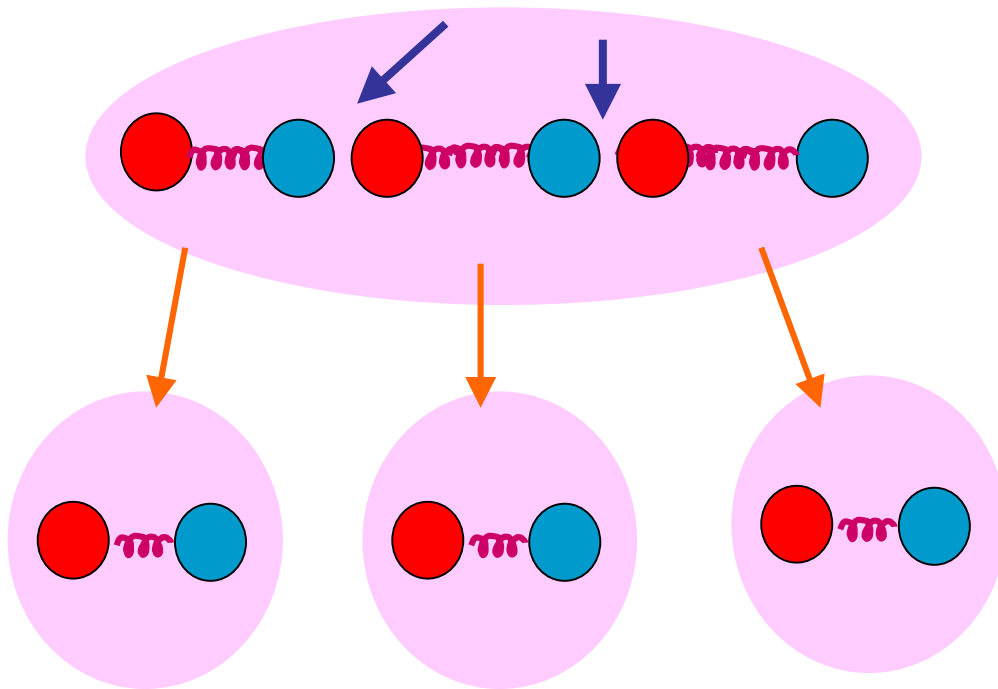
クォーク・反クォークを引き離そうとすると



グルーオンがちぎれて
クォーク・反クォーク
の対生成が起こる



$\kappa \sim 1 \text{ GeV/fm}$



Quarkonium

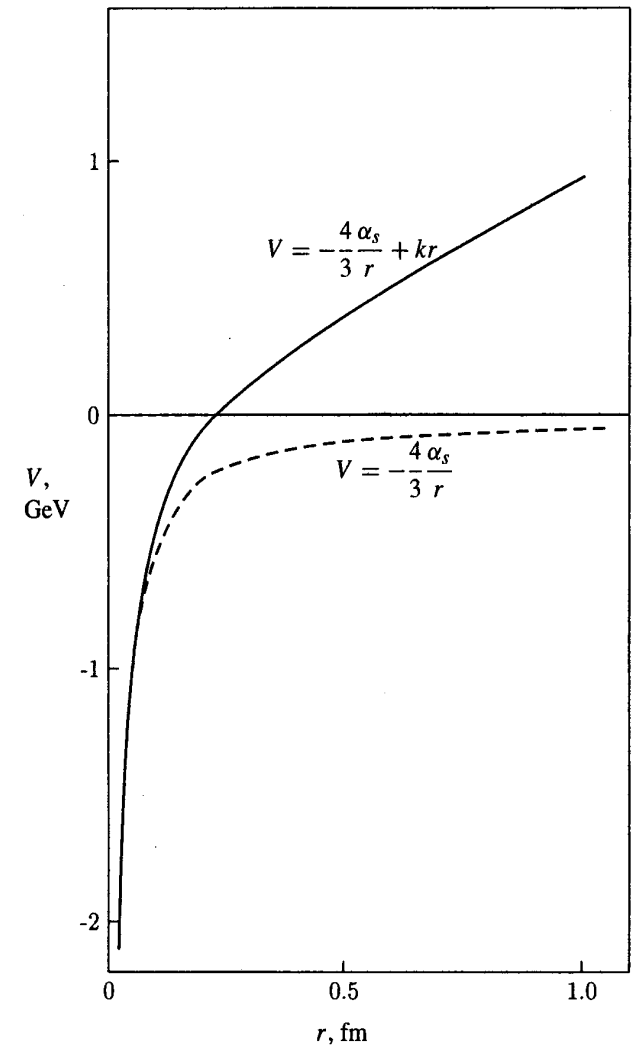
- 重いクォーク・反クォークから成るメソン
 - 古典的なポテンシャル描像が可能

$$V_C = (-q) \frac{q}{4\pi r}; \quad V_{linear} = \kappa r$$
$$H = \frac{p^2}{2m} - \frac{\alpha_{eff}}{r} + \kappa r$$
$$\alpha_{eff} = \frac{q^2}{4\pi} \left(= \frac{4}{3} \alpha_s \right) \quad q^2 = \frac{4}{3} g^2$$

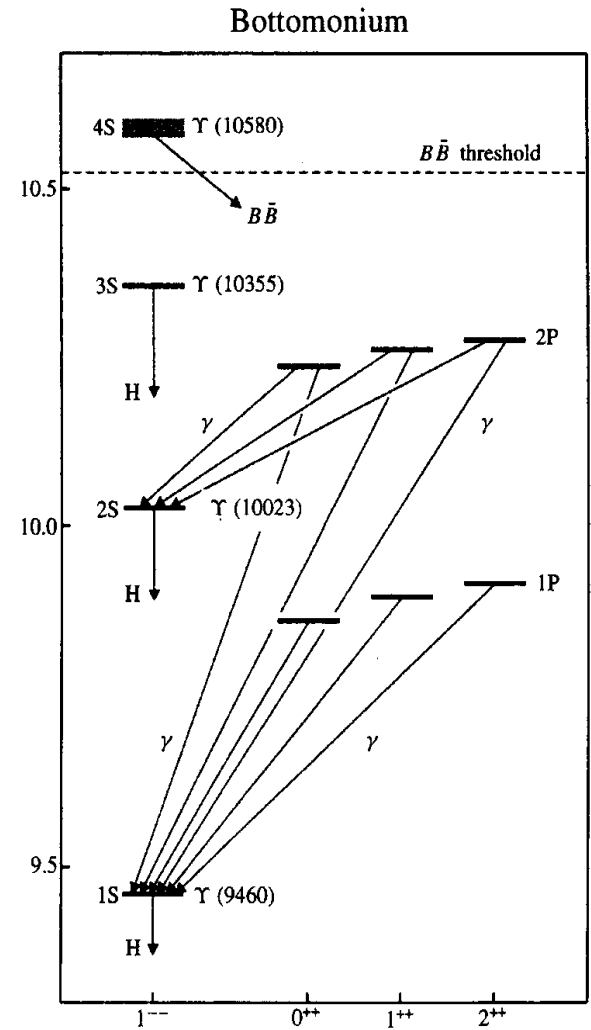
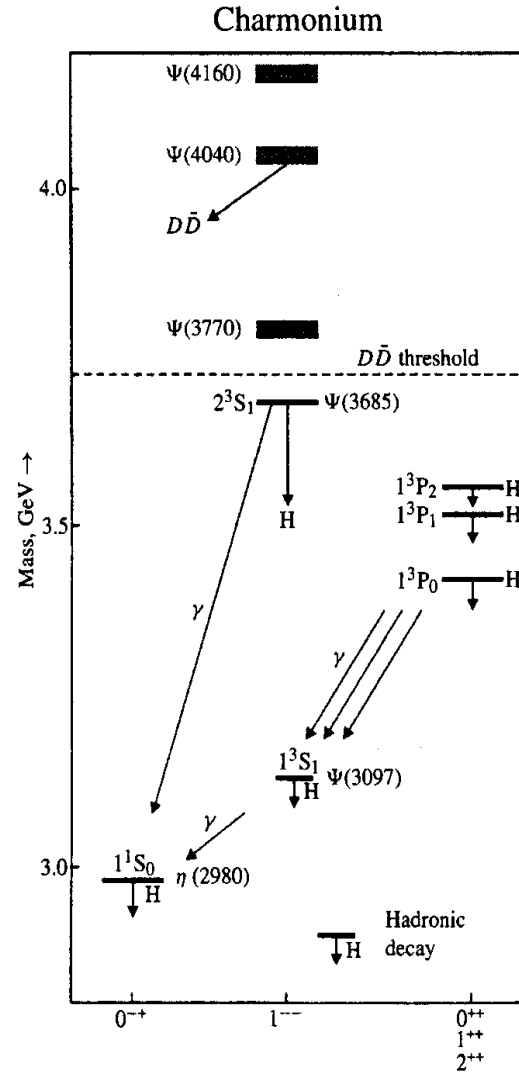
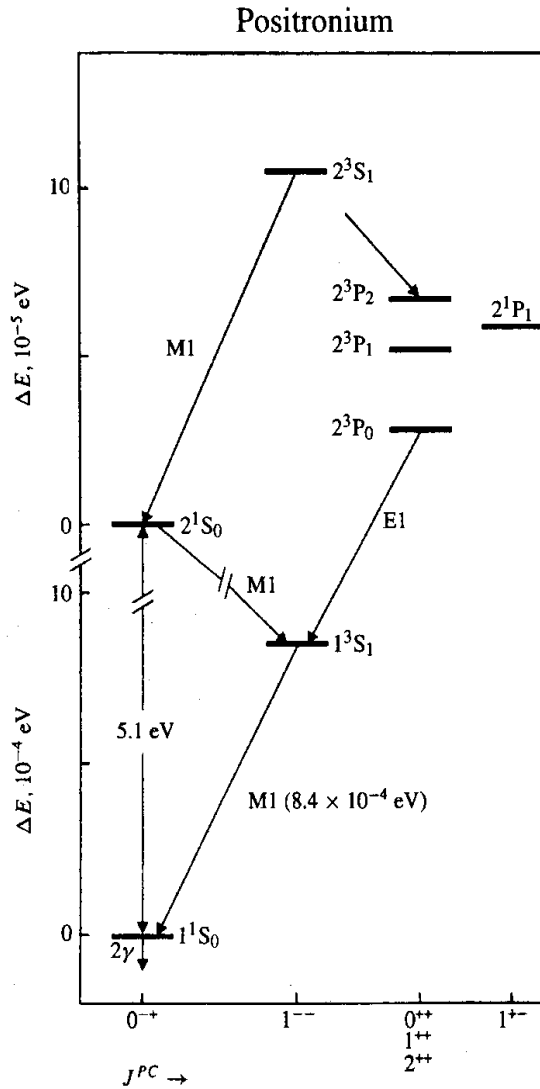
Charmoniumのパラメーターセット

$$\alpha_{eff} = 0.52, \quad \kappa = 0.926 \text{ GeV/fm}, \quad m_c = 1.84 \text{ GeV}$$

$$\alpha_{eff} = 0.30, \quad \kappa = 1.18 \text{ GeV/fm}, \quad m_c = 1.65 \text{ GeV}$$



Quarkonium のスペクトル



MIT Bag Model

- 相対論的なクォーク模型
- 袋 (Bag)
 - クォークの閉じ込め: Bag pressure
- クォーク
 - 自由粒子
 - クォークの質量は、袋の中ではゼロ
 - 袋の外では無限大
- カラー
 - 袋中の和 = 袋外の和 = 0 (Gauss's law)

A. Chodos et al., Phys. Rev. D9 (1974) 3471.

C.D. DeTar and J.F. Donoghue, Ann. Rev. Nucl. Part Sci. 33 (1983) 235.

Bag Model の計算

$$\not{p}\psi = 0$$

$$\gamma^0 = \begin{pmatrix} I & 0 \\ 0 & -I \end{pmatrix} \quad \vec{\gamma} = \begin{pmatrix} 0 & \vec{\sigma} \\ -\vec{\sigma} & 0 \end{pmatrix} \quad \psi = \begin{pmatrix} \psi_+ \\ \psi_- \end{pmatrix}$$

$$\rightarrow \begin{pmatrix} p^0 & -\vec{\sigma} \cdot \vec{p} \\ \vec{\sigma} \cdot \vec{p} & -p^0 \end{pmatrix} \begin{pmatrix} \psi_+ \\ \psi_- \end{pmatrix} = 0 \quad \rightarrow \quad [\vec{p}^2 - (p^0)^2] \psi_+ = 0$$

基底状態 : $\psi_+ = Ne^{-ip^0 t} j_0(p^0 r) \chi_+ \quad \psi_- = Ne^{-ip^0 t} \vec{\sigma} \cdot \hat{r} j_1(p^0 r) \chi_-$

境界条件 : $\bar{\psi}\psi|_{r=R} = 0$

$$\rightarrow [j_0(p^0 R)]^2 - [j_1(p^0 R)]^2 = 0$$

$$\rightarrow p^0 R = 2.04$$

Bag 定数の導出

$$E = Np^0 + (\text{Bag energy}) = \frac{2.04N}{R} + \frac{4\pi}{3} R^3 B$$

$$\frac{dE}{dR} = 0 \quad \rightarrow \quad -\frac{2.04N}{R^2} + 4\pi R^2 B = 0$$

N = Bag中のクォークの数
3次元球Bagでの境界条件
 $p^0 R = 2.04$

$$B^{1/4} = \left(\frac{2.04N}{4\pi} \right)^{1/4} \frac{1}{R}$$

Bagの半径 → 大

クォークの運動エネルギー → 小

Bagエネルギー → 大

$$N = 3$$

$$R = 0.8 \text{ fm}$$

$$\rightarrow B^{1/4} = 206 \text{ MeV}$$

ストリング（紐）模型

- 軽いクォーク系の場合には、quarkonium のような簡単な取り扱いができない
- 質量ゼロのクォーク・反クォークが紐で結ばれている

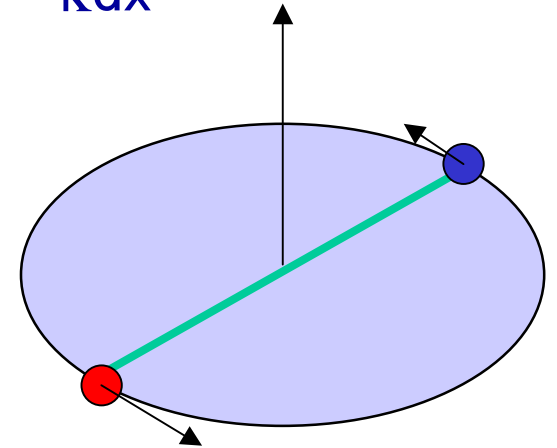
長さ $2L$ の紐で結ばれた質量ゼロのクォークと反クォークが回転運動している

紐のもつポテンシャルエネルギー: $dE(x, dx) = \kappa dx$

$$\text{Mass energy: } M = 2 \int_0^L \frac{\kappa dx}{\sqrt{1-\beta^2}} = \pi\kappa L$$

$$\text{Angular momentum: } J = 2 \int_0^L \frac{x \cdot \beta \cdot \kappa dx}{\sqrt{1-\beta^2}} = \frac{\pi\kappa L^2}{2}$$

$$\rightarrow J = \frac{M^2}{2\pi\kappa}$$



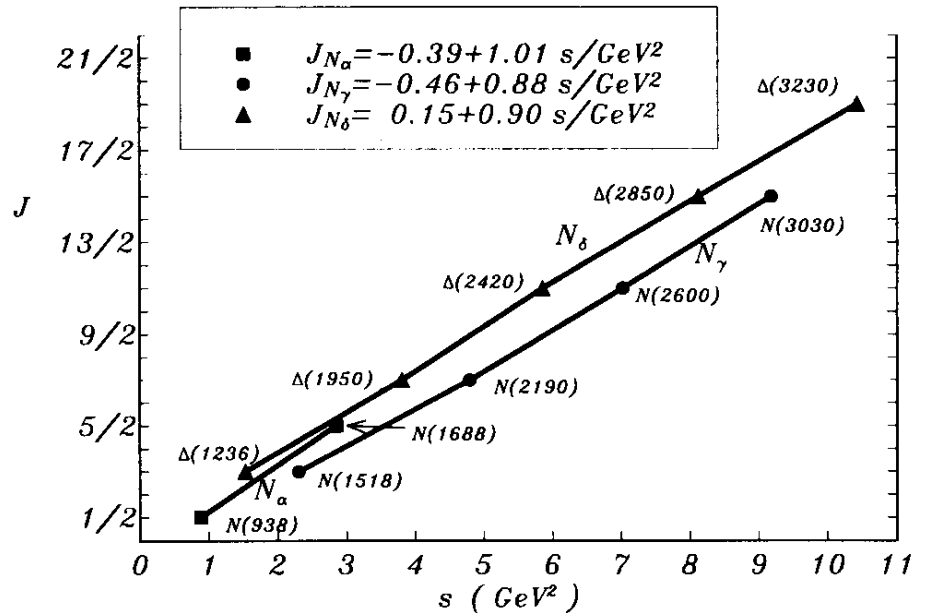
バリオンの質量と角運動量の関係

Regge Trajectory

$$J(M) = \alpha(0) + \alpha' M^2$$

$\alpha(0)$: Regge intercept

α' : Regge 勾配 ($\sim 1 \text{ GeV}^{-2}$)



$$J = \frac{M^2}{2\pi\kappa}$$

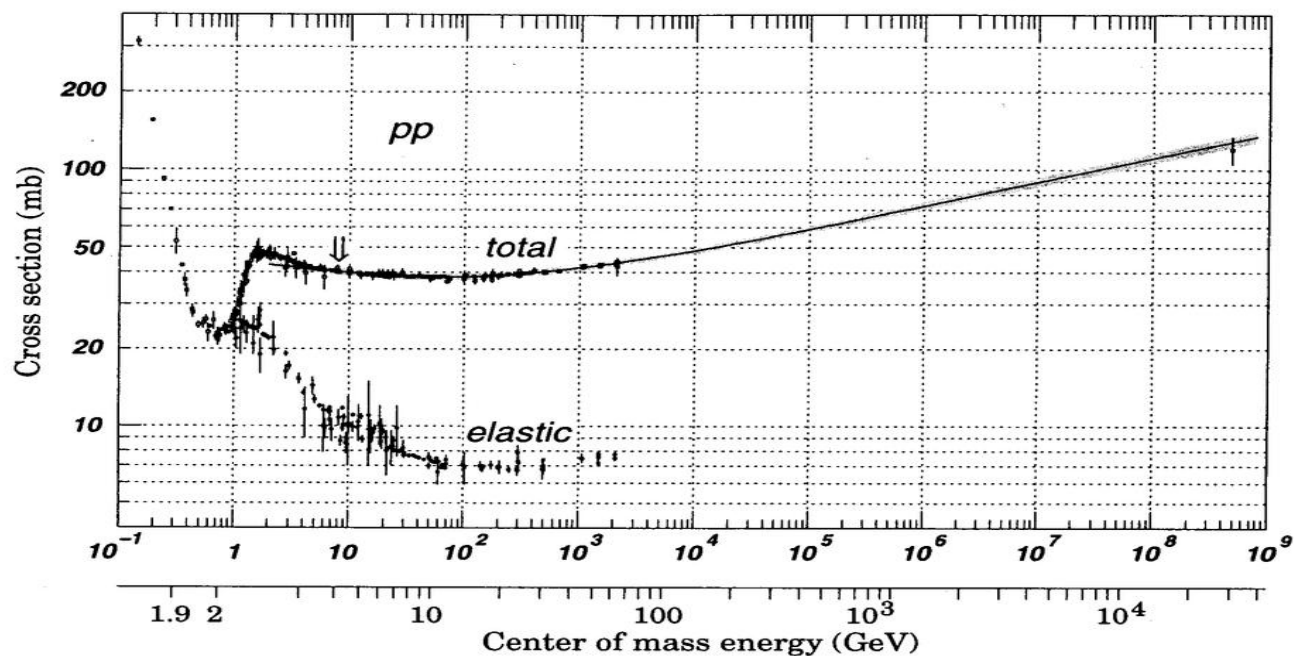
String tension : $\kappa = 1 / 2\pi\alpha'$ ($\sim 1 \text{ GeV}/\text{fm}$)

$$\kappa = \frac{1}{2\pi\alpha'} \approx \frac{1}{2\pi} \frac{1}{0.9} (\text{GeV}^2) \frac{1}{0.197 (\text{GeV} \cdot \text{fm})} = 0.9 \text{ GeV}/\text{fm}$$

ハドロンの動的な 性質と 粒子生成

陽子・陽子衝突の断面積

- 全断面積 $\sigma_{\text{total}} = \sigma_{\text{elastic}} + \sigma_{\text{inel.}}$
 - $3 \text{ GeV} < s^{1/2} < 100 \text{ GeV}$ で、 $\sigma_{\text{total}} \sim 40 \text{ mb}$ ($\sigma_{\text{inel}} \sim 30 \text{ mb}$)



$$\sigma_{\text{total}} = 48 + 0.522(\ln p)^2 + (-4.51)\ln p \quad (\text{mb}; p \text{ in GeV}/c)$$

$$\sigma_{\text{elastic}} = 11.9 + 26.9p^{-1.21} + 0.169(\ln p)^2 - 1.85\ln p \quad (\text{mb}; p \text{ in GeV}/c)$$

8.6 mb at $p = 10 \text{ GeV}/c$; 7.0 mb at $p = 100 \text{ GeV}/c$

非弾性散乱の内訳

σ_{in}

- ~10%: diffractive dissociation 過程
 - small energy loss, low-excitation
- 残り: non-diffractive 過程
 - 大きな energy loss

Non-diffractive 過程

- $\langle N_{ch} \rangle = 0.88 + 0.44 \ln s + 0.118(\ln s)^2$

p_{beam} (GeV/c)	$s^{1/2}$	$\langle N_{ch} \rangle$	$y_{beam} - y_{target}$	$\langle N_{ch} \rangle / Dy$
15	5.47	3.7	3.5	1.06
200	19.4	7.6	6.0	1.27
1000	43.3	10.9	7.7	1.42
21321	200.0	18.8	10.7	1.76

Leading baryon のエネルギーロス

- beam & target fragmentation 領域

- $p + p \rightarrow p + X$ 反応の $d\sigma/dx$ は、 $p_{\text{Lab}} \sim 100 \text{ GeV}/c$ では、ほぼエネルギーに依らず、広い x 領域で平らな分布
- Feynman scaling ← 核子のparton描像

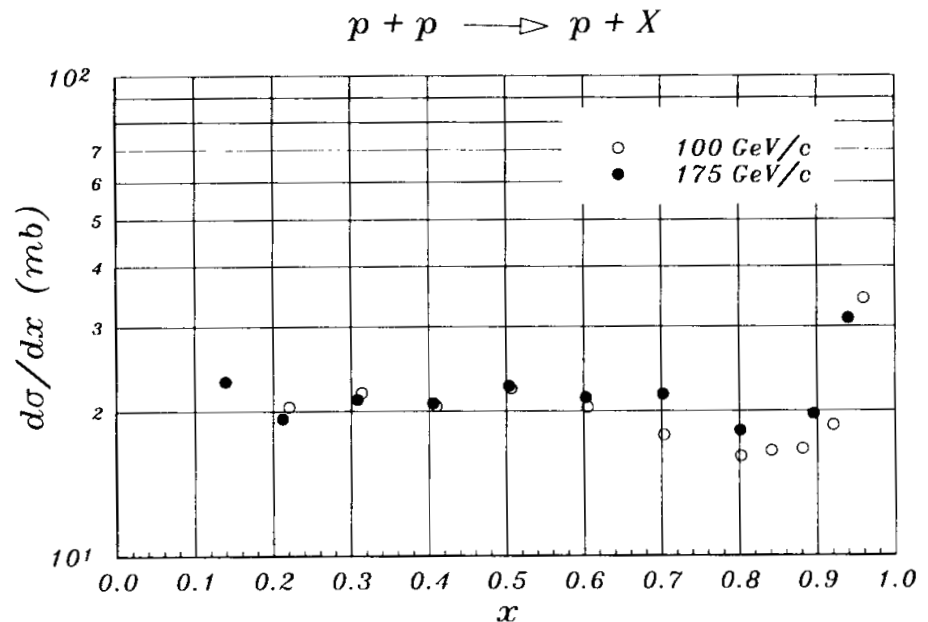
$$\langle x \rangle \sim 1/2$$

$$d\sigma/dy = (d\sigma/dx) (dx/dy)$$

$$= (d\sigma/dx) (m_{\text{CT}}/m_{\text{A}}) e^{y-y_b}$$

$$d\sigma/dy \sim e^{y-y_b}$$

$$\langle y \rangle \sim y_b - 1$$



核子のパートン描像

- 高いエネルギーでの衝突

核子は自由粒子(パートン)の集まり

	陽子	パートン
エネルギー	E	xE
運動量	p_L	xp_L
	$p_T=0$	$p_T=0$
質量	M	$m=xM$

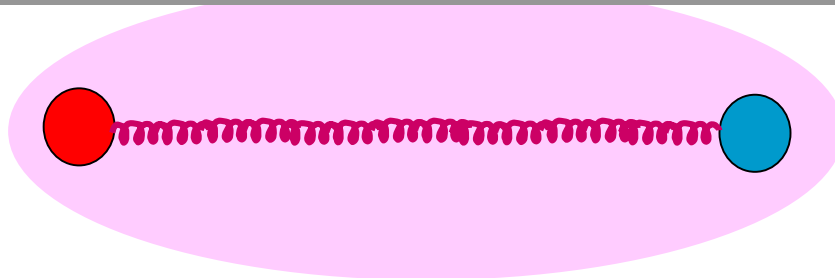
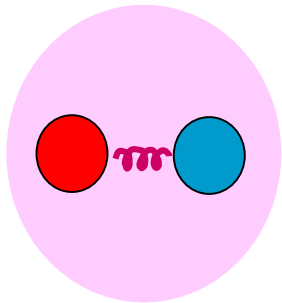
- 運動量の分担

– 個々のクォーク $\sim 1/6$

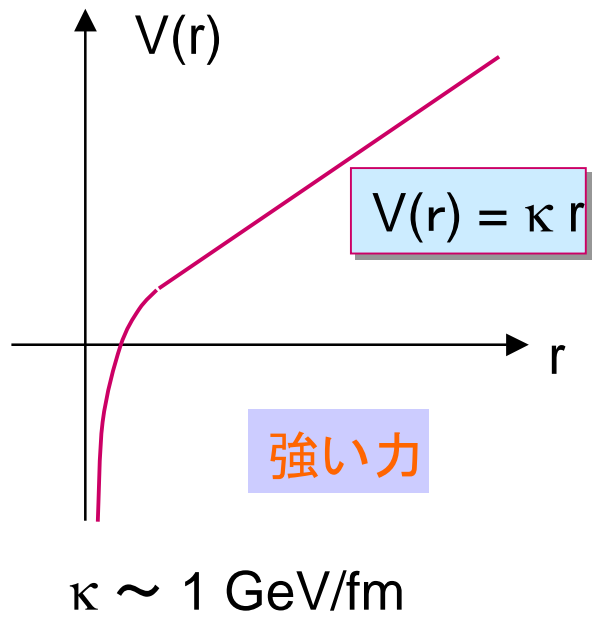
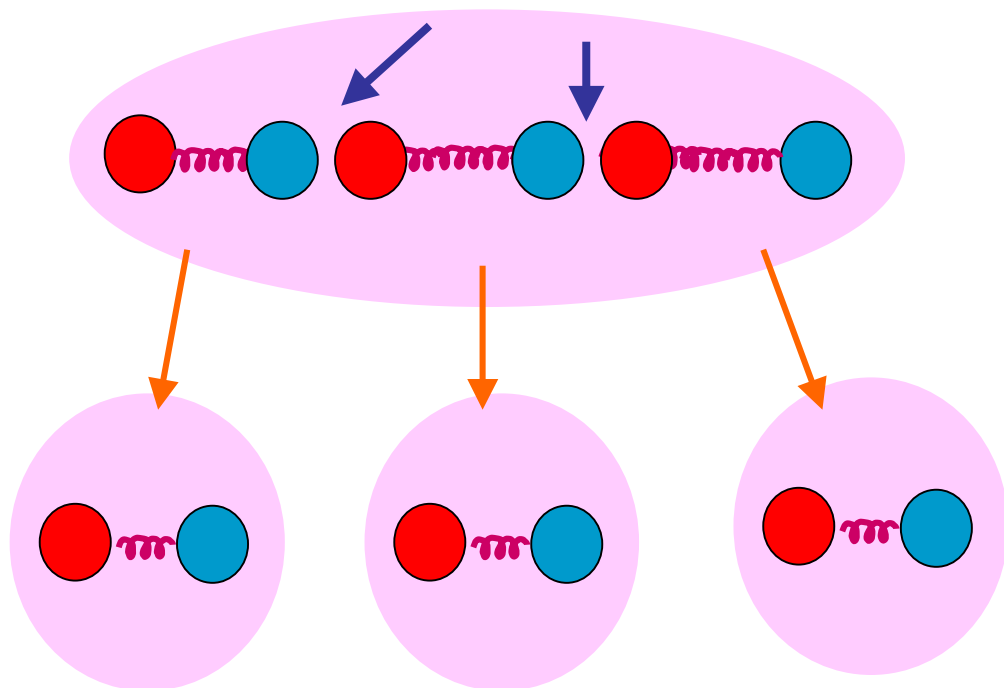
– 残り \rightarrow グルーオン

粒子生成 —String 描象—

クォーク・反クォークを引き離そうとすると

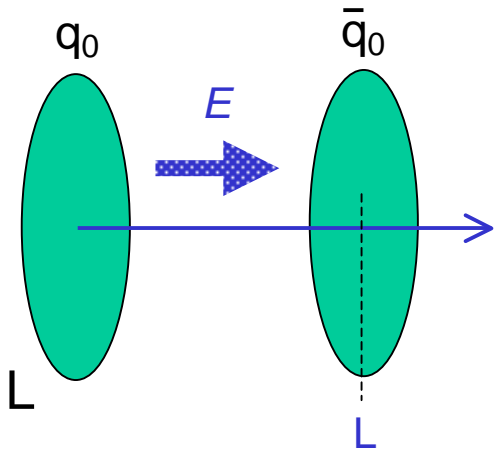


グルーオンがちぎれてクォーク・反クォークの対生成が起こる



粒子生成のモデル

- Schwinger Mechanism
 - 強電磁場での電子・陽電子対生成
 - J. Schwinger, Phys. Rev. 82 (1951) 664
-
- クォーク q_0 ($z = 0$) と、反クォーク \bar{q}_0 ($z = L$)
 - スtring 描像 -- string tension κ
 - エネルギー = κL
 - 長さ L 、断面積 S の Color flux tube
 - E : color 電場
 - tube に蓄えられるエネルギー: $0.5 E^2 S L = \kappa L$
 - Gauss の定理 $\rightarrow E S = q$
 $\rightarrow q E = 2\kappa$



対生成

- q_1 が z で単独で生成されるとすると:

q_1 の z での位置エネルギー

$$V(z) = -qEz = 2\kappa z \text{ (物理的でない)}$$

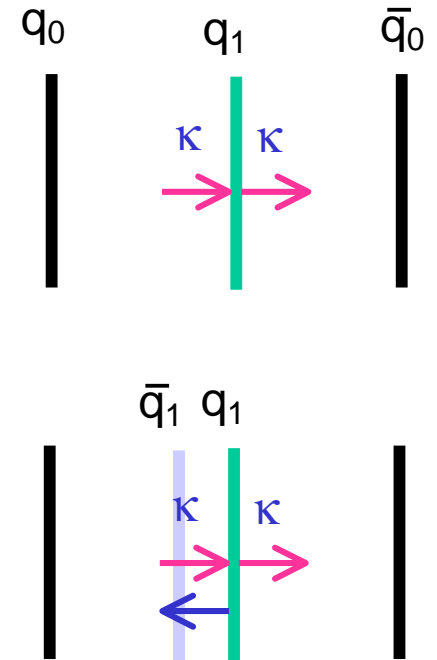
- 正しくは

q_1 と反 q_1 が対生成され、

カラーチャージを保存し

反 q_1 は、 q_0 から q_1 への力を shield する

$$\rightarrow V(z) = \kappa z$$

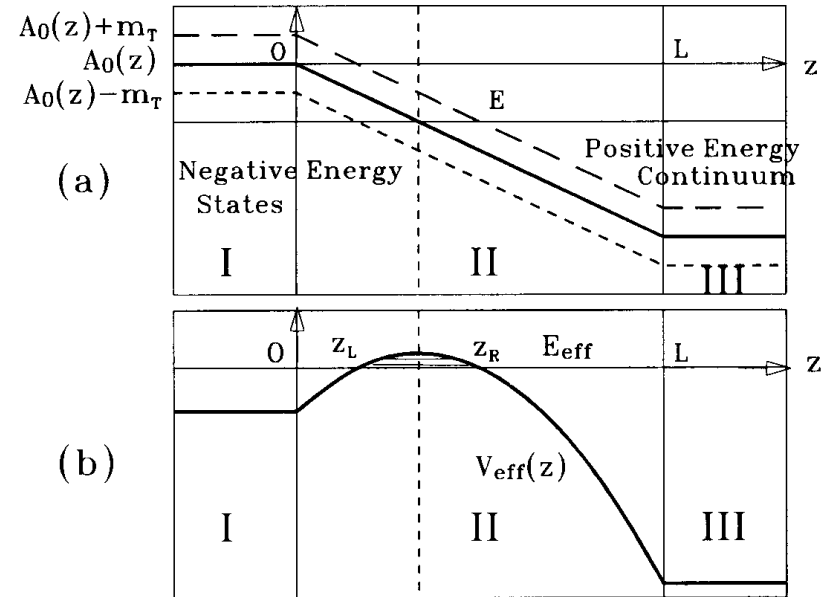


粒子生成確率の計算

ゲージ場 (Abelian) $A = (A_0, \mathbf{A})$

$A_0 = 0$ $z < 0$
 $-kz$ $0 < z < L$
 $-kL$ $L < z$

対生成: 負のエネルギー状態から
 正のエネルギー連続状態への
 トンネル効果



$[(p - A)^2 - m^2]\psi = 0$: Klein - Gordon方程式

$$\psi = \exp[i(p_x x + p_y y - Et)]f(z)$$

$$\left\{ [E - A_0(z)]^2 - p_z^2 - m_T^2 \right\} f(z) = 0$$

$$\left\{ \frac{p_z^2}{2m_T} + \left[\frac{m_T}{2} - \frac{[E - A_0(z)]^2}{2m_T} \right] \right\} f(z) = 0$$

粒子生成確率の計算 (続き)

$$\left\{ \frac{p_z^2}{2m_T} + V_{eff} \right\} f(z) = E_{eff} f(z)$$

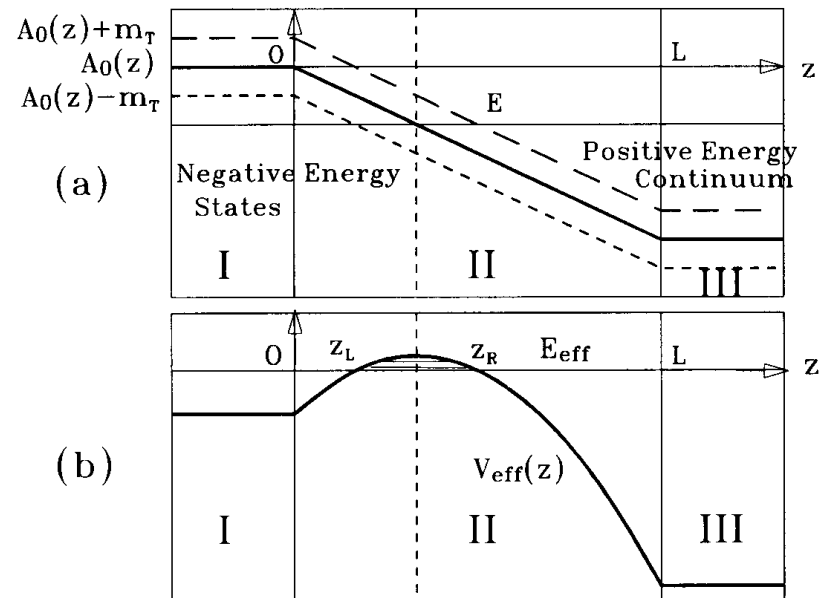
$$E_{eff} = 0, \quad V_{eff} = \frac{m_T}{2} - \frac{[E - A_0(z)]^2}{2m_T}$$

$$z_L = \frac{-E - m_T}{\kappa}, \quad z_R = \frac{-E + m_T}{\kappa}$$

WKB 近似 $P = \exp\{-I\}$

$$I = 2 \int_{z_L}^{z_R} \sqrt{2m_T(V_{eff} - E_{eff})} dz = 2 \int_{z_L}^{z_R} \sqrt{m_T^2 - (E + \kappa z)^2} dz = \frac{\pi m_T^2}{\kappa}$$

$$P = \exp\left\{ -\frac{\pi(m^2 + p_T^2)}{\kappa} \right\}$$



粒子生成レートの導出

$$\Delta N = \frac{\Delta V}{(2\pi)^3} P$$

$$\Delta V = \Delta x \Delta y \Delta z dp_x dp_y dp_z$$

$$\Delta z = \Delta t \frac{p_z}{E}, \quad E dE = p_z dp_z; \quad E \approx -\kappa z \rightarrow dE = \kappa dz$$

$$\frac{\Delta N}{\Delta x \Delta y \Delta z \Delta t dp_x dp_y} = \frac{\kappa}{(2\pi)^3} \exp\left(-\frac{\pi m_T^2}{\kappa}\right)$$

$$\frac{\Delta N}{\Delta x \Delta y \Delta z \Delta t} = \frac{\kappa^2}{(2\pi)^3} \exp\left(-\frac{\pi m^2}{\kappa}\right)$$

ストリング (Yo-Yo) 模型

- 質量ゼロのクォーク・反クォークが「紐」によって結合
距離に比例する位置エネルギー

$$\text{Hamiltonian : } H(x_i, p_i) = |p_q| + |p_{\bar{q}}| + \kappa |x_q - x_{\bar{q}}|$$

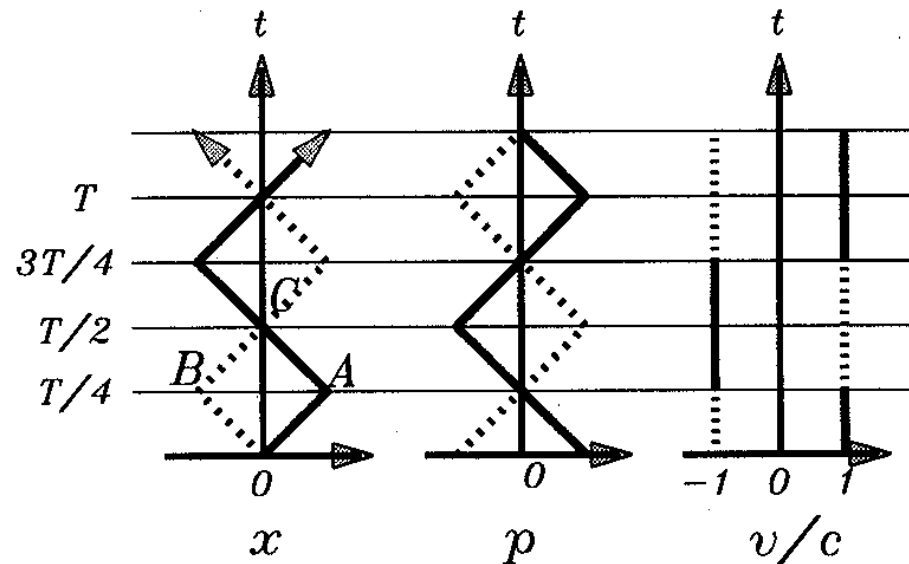
$$v_i = \frac{\partial H}{\partial p_i} = \text{sign}(p_i) \rightarrow x_i(t) = x_i(t_0) + \text{sign}(p_i)(t - t_0)$$

$$\dot{p}_i = -\frac{\partial H}{\partial x_i} = -\text{sign}(x_i - x_{i'})\kappa \rightarrow p_i(t) = p_i(t_0) - \text{sign}(x_i - x_{i'})\kappa(t - t_0)$$

$$\text{系のエネルギー : } e = 2p_q(0)$$

$$\text{周期 : } T = 4p_q(0)/\kappa$$

$$e = \kappa T/2$$



Yo-Yo 状態の基本領域

(t, x) 座標系:

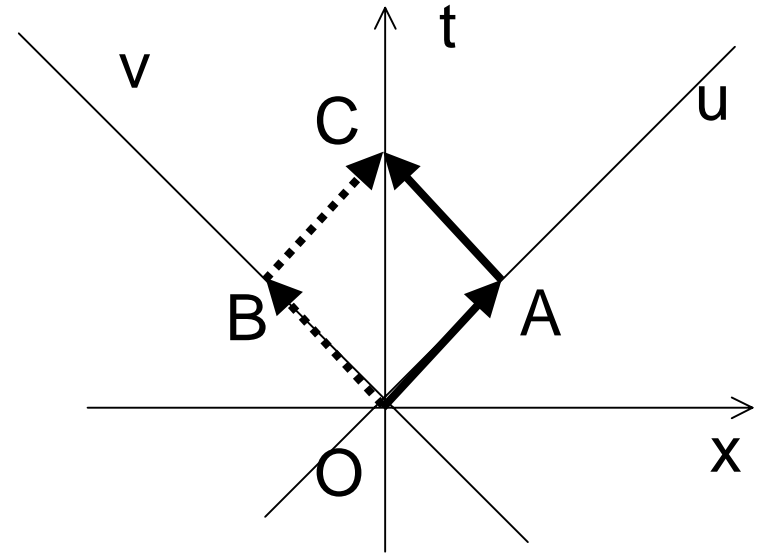
$$O = (0, 0) \quad A = (T/4, T/4)$$

$$B = (T/4, -T/4) \quad C = (T/2, 0)$$

光円錐座標: $(u, v) = (t + x, t - x)$

$$O = (0, 0) \quad A = (T/2, 0)$$

$$B = (0, T/2) \quad C = (T/2, T/2)$$



$$S(OABC) = OA \times OB = T^2/4 = 4p_q(0)^2/\kappa^2 = s/\kappa^2$$

Yo-Yo 状態の基本領域

運動系での Yo-Yo 状態

x軸方向へ速度 β でboost

$$t' = \gamma(t + \beta x) \quad x' = \gamma(x + \beta t)$$

$$O' = (0, 0)$$

$$A' = (\gamma(1 + \beta)T/4, \gamma(1 + \beta)T/4)$$

$$B' = (\gamma(1 - \beta)T/4, -\gamma(1 - \beta)T/4)$$

$$C' = (\gamma T/2, \gamma \beta T/2)$$

Yo-Yo 状態の速度: $x/t(C') = \beta$

(u, v)座標系では

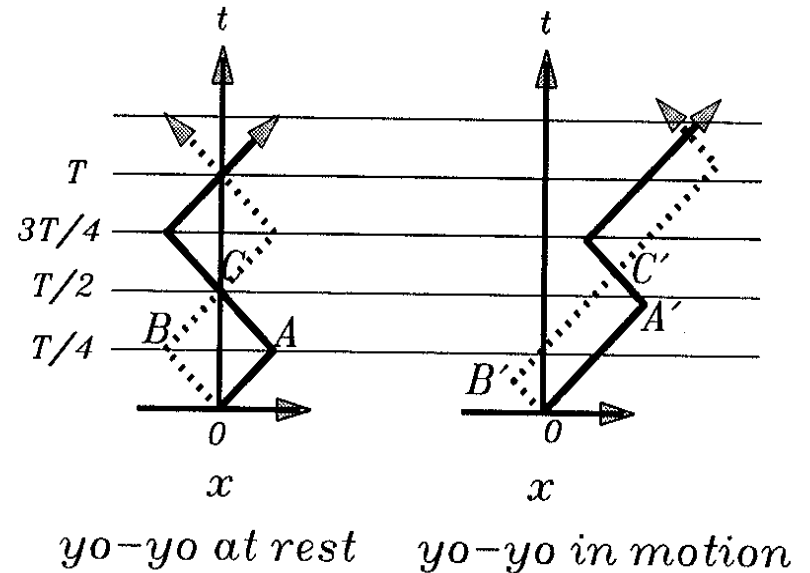
$$O' = (0, 0)$$

$$A' = (\gamma(1 + \beta)T/2, 0)$$

$$B' = (0, \gamma(1 - \beta)T/2)$$

$$C' = (\gamma(1 + \beta)T/2, \gamma(1 - \beta)T/2)$$

$$\text{面積: } S(O'A'B'C') = T^2/4 = s/\kappa^2$$

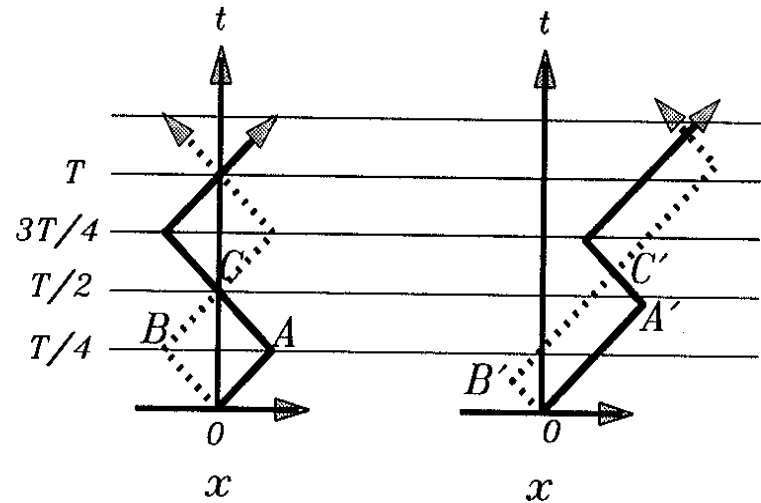


-- Lorentz 不変量

$$e = \kappa T/2 \quad p_+ = p_0 + p_x = \gamma(1+\beta) \kappa T/2 \quad == \kappa L(O'A')$$

$$p_- = p_0 - p_x = \gamma(1-\beta) \kappa T/2 \quad == \kappa L(O'B')$$

$$p_+ p_- (= p_0^2 - p_x^2) = \kappa^2 T^2/4 = s \quad (\text{固有運動量})$$



Yo-Yo状態のRapidity :

yo-yo at rest *yo-yo in motion*

$$y = \frac{1}{2} \ln \left(\frac{p_0 + p_x}{p_0 - p_x} \right) = \frac{1}{2} \ln \left(\frac{p_+}{p_-} \right) = \frac{1}{2} \ln \left(\frac{1 + \beta}{1 - \beta} \right)$$

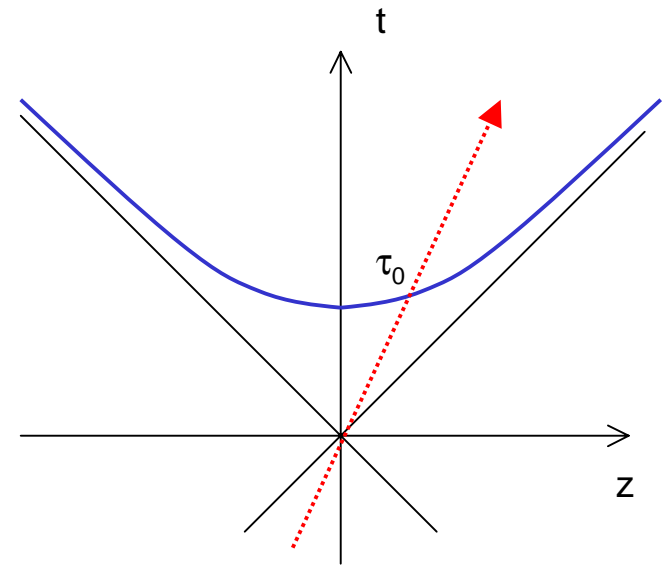
粒子生成の時空描像

Bjorken's Space-Time Picture

- クォーク・反クォーク対生成(ストリングの fragmentation)は、ある固有時間 τ_0 に同時に起こる
 - 高エネルギーのリミットでは「系」(Rapidity)に依存しない
- 固有時間 (proper time)
$$\tau^2 = t^2 - z^2$$
 - 位置と時間の関係
$$z = \beta t \quad (\beta = 1 / \tan \theta)$$

→
$$t = \tau / (1 - \beta^2)^{1/2} = \gamma \tau$$

$$z = \beta t = \beta \gamma \tau$$



時空と4元運動量

- スtringの fragmentation で作られたメソン(クォーク・反クォーク)は、生成された時の4元運動量をほぼ保持する
 - 横運動量は無視すると、**粒子の時空と4元運動量が一対一対応**)
- **大きなRapidityを持つ粒子は遠くで、遅い時間に生成される**

$$\text{時空 rapidity: } y_z = 0.5 \ln [(1 + \beta) / (1 - \beta)] = \ln [\gamma(1 + \beta)]$$
$$(t, z) = (\tau \cosh y_z, \tau \sinh y_z)$$

時空

4元運動量

$$t = \tau \cosh y_z \longleftrightarrow E = m_T \cosh y$$

$$z = \tau \sinh y_z \qquad p_z = m_T \sinh y$$

粒子のRapidity分布

Light cone 座標 : $V = (u, v)$; $u = t + z$, $v = t - z$

隣り合うVertex

V_{i-1}, V_i : V_{i-1} の反クォーク + V_i のクォーク (Yo-Yo状態)
 → 粒子 (メソン)

$$\frac{dN}{dy} = \frac{1}{y_{i+1} - y_i} = \frac{1}{\Delta y}$$

$$\Delta y = \frac{dy}{dv} \Delta v = \frac{1}{2} \left(\frac{1}{v} - \frac{1}{u} \frac{du}{dv} \right) \Delta v$$

$$= \frac{1}{2} \left(\frac{1}{v} + \frac{1}{u} \frac{\tau_0^2}{v^2} \right) \Delta v = \frac{\Delta v}{v}$$

$$uv = \tau_0^2; \quad \Delta u \Delta v = \frac{du}{dv} (\Delta v)^2 = -\frac{m_T^2}{\kappa^2}$$

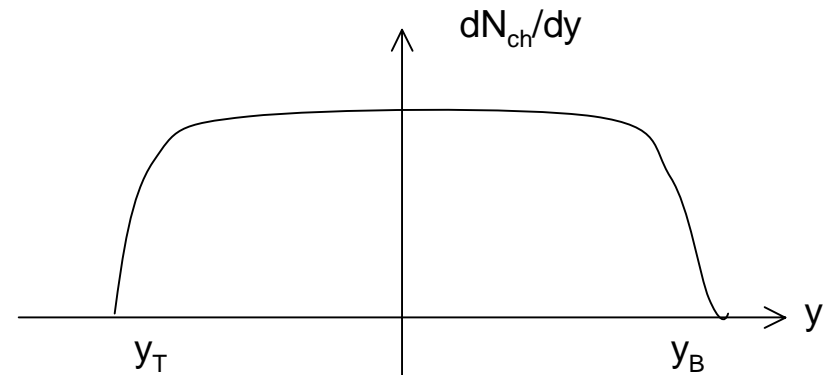
$$\Delta v = \frac{m_T}{\kappa} \left(-\frac{du}{dv} \right)^{-\frac{1}{2}} = \frac{m_T v}{\kappa \tau_0}$$

$$\boxed{\frac{dN}{dy} = \frac{\kappa \tau_0}{m_T}}$$

ストリングの fragmentation 時間

$$dN/dy = \kappa \tau_0 / m_T$$

- dN/dy 分布はフラット
 - 高エネルギーでは真実に近い
- dN/dy 分布から、fragmentation 時間が推定できる
 - $\langle m_T \rangle \sim 0.4 \text{ GeV}$, $\kappa \sim 1 \text{ GeV/fm}$



p_{Lab} (GeV/c)	1000	21321
$\langle N_{ch} \rangle$	10.9	18.8
$\langle N \rangle$	16.4	28.2
Δy	7.7	10.7
$\Delta N / \Delta y$	2.1	2.6
τ_0 (fm)	0.84	1.04

ストリング描像の欠陥

- 「小さい m_T を持つ粒子の多重生成」を良く記述する
- 大きな m_T 領域のスペクトルのエネルギー依存性を説明しない
- $dn_{ch}/d\eta$ の衝突エネルギー依存性を説明しない

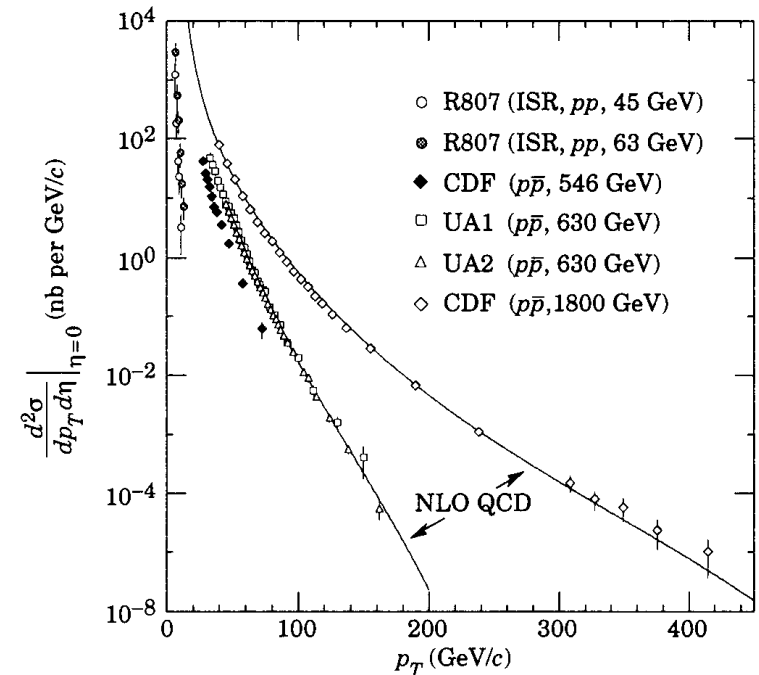
– $dn_{ch}/d\eta = \text{一定}$

– 実験データ: $\langle N_{ch} \rangle = 0.88 + 0.44 \ln s + 0.118(\ln s)^2$

$\Delta y \sim \ln s$

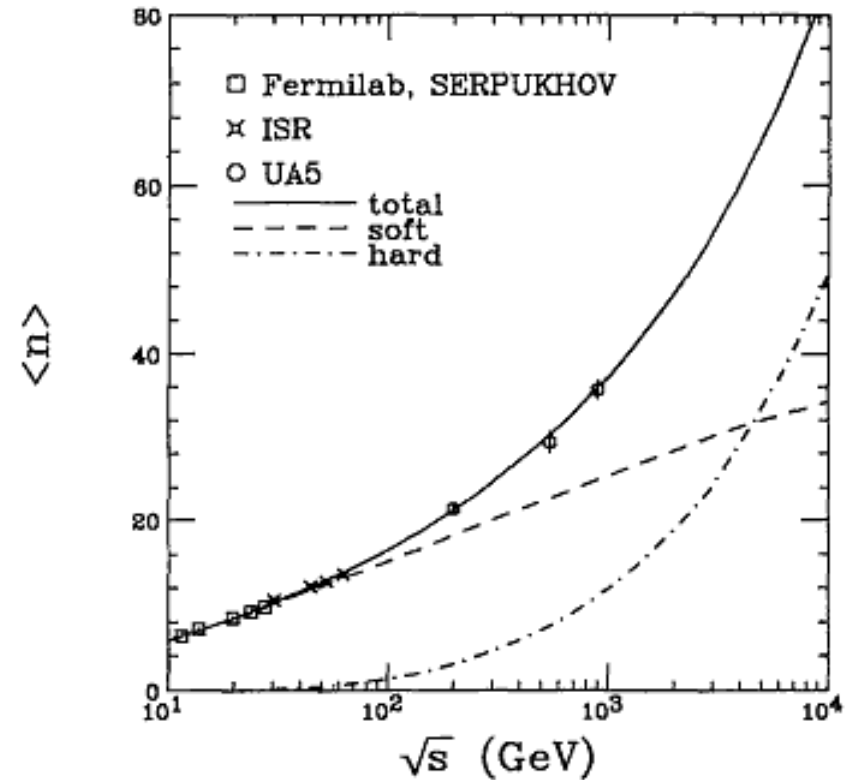
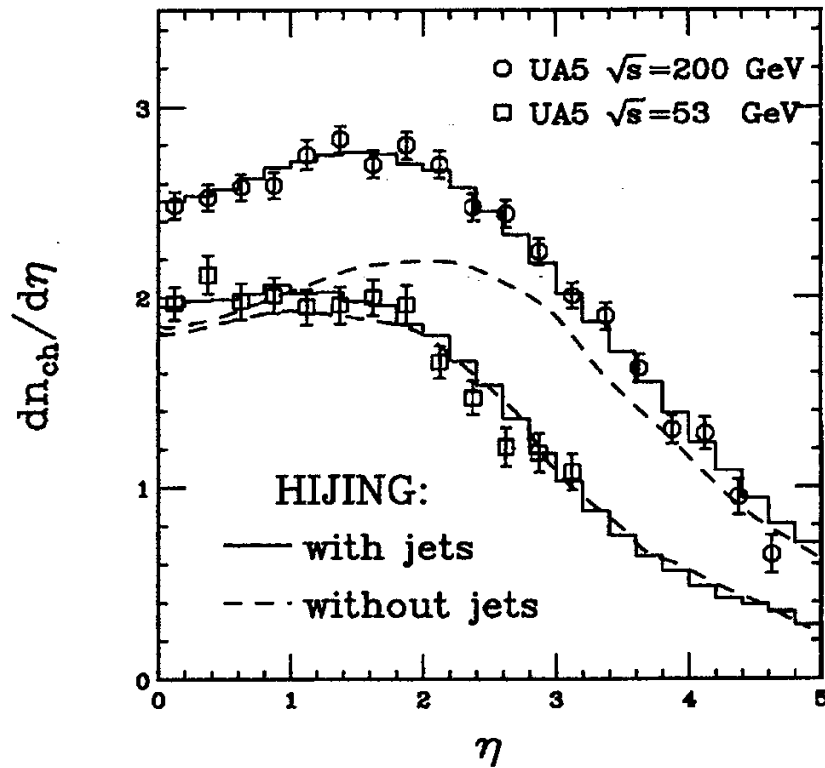
→ $dn_{ch}/d\eta$ は $\ln s$ で増加

Jet Production in pp and $p\bar{p}$ Interactions



Hard Process

- $\sqrt{s} \geq 100$ GeV では、hard process の寄与が顕著

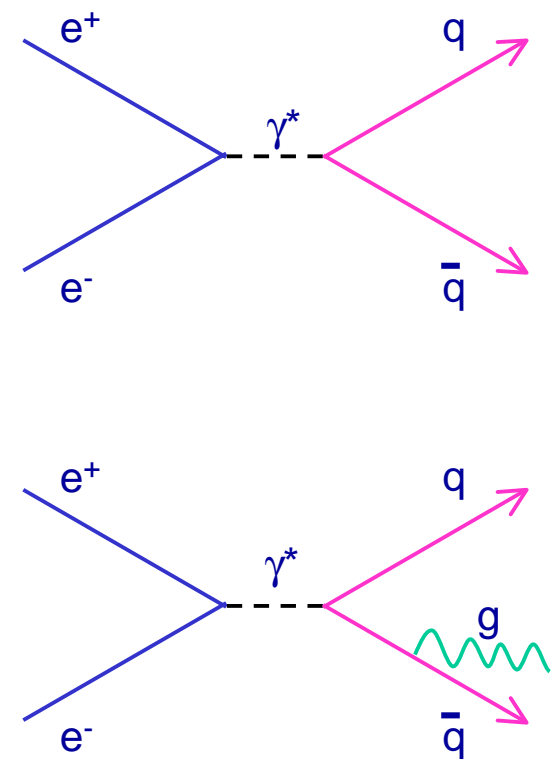


Jet

- Energetic partons produced via **hard process**
 - same plane, opposite direction
 - fragmentation in the final stage
- e^+e^- collisions:
 - annihilation \Rightarrow $q\bar{q}$ pair production
 - β = velocity of final state fermion
 - Q_f = charge of fermion

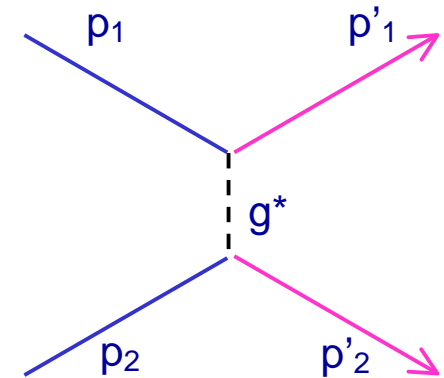
$$\frac{d\sigma}{d\Omega} = \frac{\alpha^2 \beta}{4s} \left[1 + \cos^2 \theta + (1 - \beta^2) \sin^2 \theta \right] Q_f^2$$

$$\sigma = \frac{4\pi\alpha^2}{3s} Q_f^2 = 88.6 \frac{Q_f^2}{s(\text{GeV}^2)} \text{ nb}$$



Jet in Hadron Collisions

- Partons
- perturbative QCD



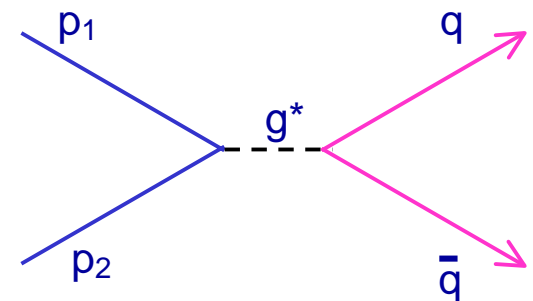
$$\frac{d^3\sigma}{d^2p_T dy} = \sum_{ij} \int f_1(x_1, p_T^2) f_2(x_2, p_T^2) \left[s' \frac{d\sigma'}{dt'} \right]_{ij} dx_1 dx_2 \delta(s' + t' + u')$$

$$s = (p_1 + p_2)^2, t = (p_1 - p_{jet})^2, u = (p_2 - p_{jet})^2$$

$$s', t', u' : p_1 \rightarrow x_1 p_1, p_2 \rightarrow x_2 p_2$$

$$gg \rightarrow q\bar{q};$$

$$s' \frac{d\sigma'}{dt'} = 3\alpha_s^2 \left[\frac{t'^2 + u'^2}{8s'} \right] \left[\frac{4}{9} \frac{1}{t'u'} - \frac{1}{s'^2} \right]$$



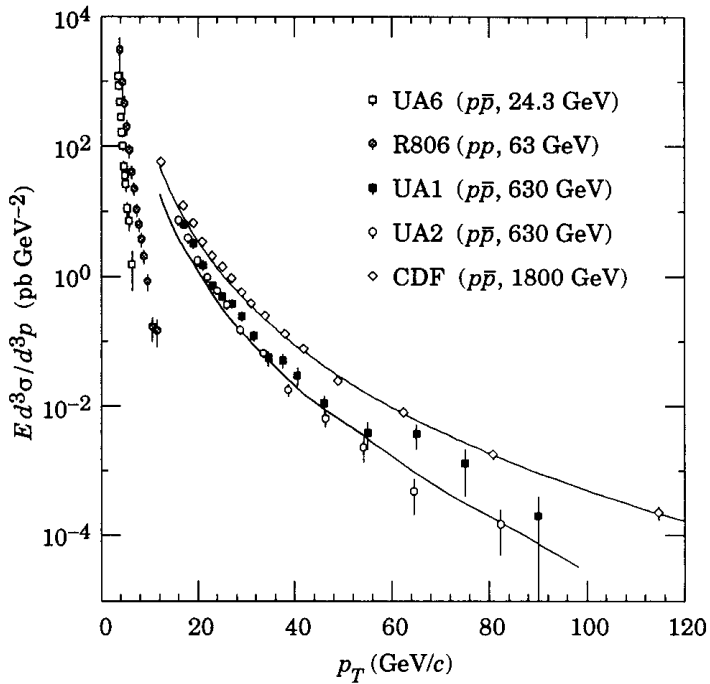
good agreement with QCD calculation

- parton (quarks & gluons)

= elementary particles

$p_T = 400 \text{ GeV} \rightarrow r \sim 0.5 \times 10^{-3} \text{ fm}$

Direct γ Production in $p\bar{p}$ Interactions



Jet Production in pp and $p\bar{p}$ Interactions

